

## استخدام الشبكات العصبية والارتداد الخطى

### لتقديرات الطاقة اللازمة للحرث

أ.د. محمد نبيل العمومي\*

د. عبد الفضيل جابر القباني\*\*

د. محمد حسن لأحمد محمد أبو كريمة\*\*\*

### الملخص

تم في هذا البحث استخدام طريقة الارتداد الخطى المتعدد والشبكات العصبية الاصطناعية فى التوقع بمقدار استهلاك الوقود (تر/دفن) والطاقة اللازمة للحرث (كيلوجول/دفن). تم تقيير هذه الكميات من نتائج سابقة، مامكح (٢٠٠٢م)، لثلاثة أنواع من المحاريث هي: حفار، كلاب مطرحي، وتلاب قرصى تعمل بثلاثة سرعات لاصامية هي: ١، ٥، ٧، ٩ كم/س عند عمق حرث ٢٥ سم في تربة طينية طمية (clay loam) متغيرة المحتوى الرطوبى بنسبة ٨، ١١، ١٤ % على أساس جاف.

عند استخدام طريقة الارتداد الخطى المتعدد استخدم معامل يعبر عن المحاريث، يساوى ١ للمحارات الحفار، و ٢ للمحارات الكلاب المطرحي، و ٢.٥ للمحارات كلاب القرصى. وتكونت الشبكة العصبية الاصطناعية المقترحة من ثلاثة طبقات، واحدة للمدخلات بعدد ٦ عناصر حسابية هي: ملاح حفار، ملاح مطرحي، ملاح قرصى، السرعة الأمامية، والمحتوى الرطوبى للتربة، وطبقات للمخرجات بعدد ٢ عناصر حسابية هي: استهلاك الوقود والطاقة اللازمة للحرث، وطبقات مختلقة بعدد ٦ عناصر حسابية. وتم استخدام الدالة الحدية (tanh) في كل من طبقات المخرجات والطبقات المختلقة كدالة تحويل.

استخدمت بيانات حلقة لنتائج سابقة (١٨ مشاهدة) لإيجاد ثوابت معادلة الارتداد الخطى المتعدد وتدريب الشبكة العصبية الاصطناعية المقترحة باستخدام طريقة الانثار الخلفى بمعدل تعليم قدره ٠.٠٩٨ وبعد تكرارات ١٠٠٠٠ مكررة. استخدم الجذر التربيوى لمتوسط مربع الاخطاء (RMSE) كمعيار الدالة على أن الشبكة العصبية الاصطناعية تدربت بشكل جيد، حيث وصلت لث قيمه لـ انتهاء مرحلة التدريب إلى ٠.٢٤٦ ، ويدل هذا الرقم على أن الشبكة العصبية الاصطناعية المقترحة قد تدربت بشكل دقيق. ولتأكيد من كفاءة الشبكة العصبية الاصطناعية التي تم تدريبيها فقد تم تقيير استهلاك الوقود والطاقة اللازمة للحرث لعدد ٩ مشاهدات لم يسبق للشبكة التعرض لها من قبل، وقد تم الحصول على نتائج توافق جيدة مع كيتماما المقادمة ( $R^2 = 0.98$ ).

أوضحت النتائج تفوق طريقة الشبكات العصبية على طريقة الارتداد الخطى لتوقع استهلاك الوقود والطاقة اللازمة للحرث، حيث كانت قيمة (RMSE) لمقدار الطاقة اللازمة للحرث ٢.٦٩٩ كيلوجول/دفن عند استخدام الشبكات العصبية بينما كانت ٣.٧٢٩ كيلوجول/دفن عند استخدام طريقة الارتداد الخطى المتعدد فى التوقع بها. وهذه النتائج توضح أنه يمكن استخدام الشبكات العصبية الاصطناعية بدقة في التوقع بمقدار استهلاك الوقود والطاقة اللازمة للحرث على الرغم من عدم معرفة نوع الملاحة الرياحية بينهما وبين للعوامل المؤثرة فيها.

\*أستاذ الهندسة الزراعية المتفرغ، قسم الهندسة الزراعية، كل. الزراعة، ج. عن شمس.

\*\*مدرب الهندسة الزراعية، قسم الهندسة الزراعية، كل. الزراعة، ج. عن شمس.

\*\*\*باحث أول، مهد بحوث الهندسة الزراعية، التقى، الجزء.

\*\*\*\*باحث مساعد، مهد بحوث الهندسة الزراعية، التقى، الجزء.

## ١. المقدمة

زاد الامتنام بتقديم أداء الجرارات الزراعية أثناء عملية الحرش نظراً لأنها تستهلك أكبر قدر من طاقة الوقود بين العمليات الزراعية. حيث أوضح العشري (١٩٩٥) أن طاقة الوقود تمثل الشطر الأعظم من إجمالي الطاقة الإجمالية المستهلكة لإنتاج الفدان من الأرز تحت الظروف المصرية، حوالي ٤٦,١٪ كان نصيب عملية إعداد الأرض منها ٢١,٤٪. ولو سُبّح بالباحث أن عملية إعداد الأرض لزراعة محصول القمح تحتاج إلى ٣٥,١٪ من إجمالي طاقة الوقود الكلية.

ولاجراء عملية تقييم أداء الجرارات الزراعية لأداء من قواعد عدة متغيرات مثل قوة الشد الأقصى، واستهلاك الوقود ويجري هذاقياس عند ظروف تشغيل مختلفة مثل عمق الحرش، والسرعة الأمامية، ونوع سطح التربة، والظروف الإبداعية للتربة كالكتلة الظاهرية والمحتوى للرطوبى. ومن ناحية أخرى فإن القياس المباشر والمُقْرَن لا يجد استهلاك الوقود أثناء التشغيل الحالى يكون ملائم وصعب (El-Sayed and El-Kilani, 2002)، لذا فإن برامج المحاكاة أو المعادلات المستنبطة إحصائياً تكون أكثر كفاءة في هذه الحالة (Gomaa et al., 1995). ومعظم المعادلات المستخدمة تكون نوع حرش واحد فقط وظروف التشغيل تشمل السرعة الأمامية، وعمق الحرش.

ونظراً لأن المحتوى للرطوبى للتربة من العوامل المؤثرة على كفاءة تشغيل الجرار أثناء عملية الحرش، حيث المحتوى الرطوبى للتربة المثالى يساعد على تجذير عملية الحرش بكفاءة عالية وتقليل الطاقة (Kepner et al., 1987)، لذا عند اختيار استهلاك الوقود أثناء عملية الحرش يجب الأخذ في الاعتبار كل المتغيرات التي تؤثر فيه. من ناحية أخرى نجد أن تشغيل منظومة الجرار الزراعي والألة، بشكل مثالى، من الاستهانات الرئيسية للعاملين في مجال الهندسة الزراعية، لذا تترك دراستهم حول تحسين أداء هذه المنظومة بمعرفة ظروف تشغيلها المناسبة مما يؤدي إلى تقليل تكاليف التشغيل والتي يدخل في تقدرها استهلاك الوقود. ومع انتشار الزراعة الآلية ومحدودية مصادر الطاقة التقليدية وأهمها وقدر البيزيل، أصبح إزاماً ترشيده وذلك بإتباع الأساليب المناسبة التشغيل في عمليات الحرش.

أوضح الموسى (١٩٩٨) أنه عند اختيار نظم المركبة الزراعية والآلات فإن الأساليب الحديثة المعتمدة على الحاسب الآليكترونى (نظم الخبر) تساعده بالخروج بقرارات لاختيار أسباب الآلات والاحتياجات من كل منها، أو من النظم لتلبية كافة العمليات الزراعية. ومن الأساليب الحديثة التي تساعده في إنشاء النماذج المستخدمة في التنبؤ في مجال الهندسة الزراعية الشبكات العصبية الاصطناعية، والتي أصبحت ولقى ملوكها نظراً للتطور الهائل في أجهزة الحاسوب الآلى والبرمجيات. وهذه الشبكات ثبتت أنها أفضل من الطرق الإحصائية التقليدية عند استخدامها في التنبؤ في مجالات عديدة، حيث نوعية التنبؤ تعتمد على الظرفية المستخدمة واختيار المدخلات المناسبة. والشبكات العصبية الاصطناعية عبارة عن نموذج يحاكي الشبكة العصبية لطبيعتها وتستخدم عدداً محدوداً من الطرق الأساسية المستخدمة فيها بمساعدة برمجيات المحاكاة وأسلوب المعالجة المتزايدة.

ويهدف هذا البحث إلى استخدام طريقة الإرتداد الخطى المتعدد والشبكات العصبية الاصطناعية في التوقع بمتى استهلاك الوقود (أتر/فدان) والطاقة اللازمة للحرش (كيلوجول/فدان) لمحاريث مختلفة تحت ظروف مختلفة من التشغيل تشمل السرعة الأمامية والمحتوى الرطوبى للتربة، ثم المقارنة بين هاتين الطريقتين.

## ٢. الدراسات السابقة

درس (Morad and El-Shazly 1994) بعض عوامل التشغيل على أداء المحراث الدوراني في تربة طينية طيبة (clay loam) فوجدا أن الطاقة اللازمة للحرث تقل بزيادة المحتوى رطوبى للتربة وكانت أقل قيمة لها عند محتوى رطوبى مقداره ٢١٪ على أساس جاف. كما أوضح الجنوبي ووهبي (1998) أن استهلاك الوقود (التر/س) يزداد بزيادة سرعة وعمق الحرث لتربة رملية طيبة (sandy loam).

درس (El-Ansary et al. 1995) تأثير المحتوى الرطوبى للتربة على استهلاك الوقود والطاقة اللازمة للحرث، حيث استخدمو ٤ مستويات من المحتوى الرطوبى للتربة ٣٦٪، ٢٤٪، ١٥٪، ٩٪ وذلك لمحاريث مختلفة مسند عمق ١٦ سم وأوضحا أن استهلاك الوقود (التر/فدان) والطاقة اللازمة للحرث (كيلووات.مٌ/فدان) يقل بزيادة المحتوى الرطوبى للتربة ما خذل عند محتوى رطوبى للتربة أكثر من ٢٤٪ فإنهما يزيدا وأدرجوا معادلة لحساب استهلاك الوقود كدالة في المحتوى الرطوبى للتربة.

أوضح (El-Sheikha 1989) أن للسرعة الأمامية تأثير على الاستهلاك النوعي للوقود (التر/م<sup>٢</sup>) من حجم التربة المحرونة) ويقل بزيادتها لحراث حفار. وأوضح نفس الباحث أنه للتربة الجافة (١٥٪ محتوى رطوبى) فإن الاستهلاك النوعي للوقود يزيد بالمقارنة مع التربة الرطبة (٣٠٪ محتوى رطوبى)، حيث استخدم في دراسته ٣ سرعات ألمامية و ٤ مستويات من المحتوى الرطوبى للتربة ١٥٪، ٢٢٪، ١٦٪، ٩٪.

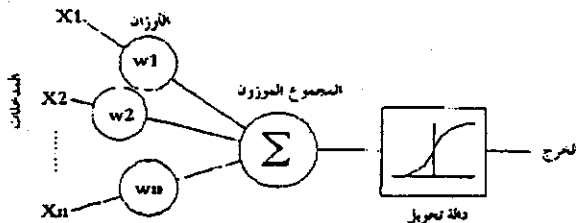
أوضح (Kepner et al. 1987) أنه في المناطق الجافة فالري قبل عملية الحرث ربما يقلل الطاقة اللازمة وأو يزيد من درجة التقى للتربة. ودرس (Mohamed et al. 1995) العوامل المؤثرة على أداء الحراث الحفار تحت الظروف المصرية ومنها عمق الحرث، وسرعة التشغيل، والمسافة بين الأسلحة وأدرجوا في دراستهم معادلة استنبطت إحصائياً بالارتداد الخطى البسيط لإيجاد الطاقة اللازمة للحرث كدالة في عمق الحرث في المدى المستخدم بين ٤، ٣، ٢، ١ سم.

أجرى مامكن (٢٠٠٢) تجربة بالأردن لتقدير استهلاك الوقود أثناء الحراثة في تربة طينية طيبة (clay loam)، مع تغيير المحتوى الرطوبى والسرعة الأمامية ونوع المحراث، وخرجت الدراسة بأن أقل استهلاك وقود كان عند استخدام الحراث الحفار مقارنة مع المطرحى والمفرصى عند محتوى رطوبى للتربة مقداره ١٤٪ وسرعة ألمامية ٩ كم/س ، غير أن هذه الدراسة لم تحتوى على نموذج رياضي يساهم في الخروج بنظرية عامة.

أوضح (Langman 1999) أن الشبكات العصبية الاصطناعية أداة مناسبة لوصف الظواهر غير الخطية والعمليات التي تحدث في مجال الهندسة الزراعية. واستخدم (Altendorf et al. 1999) الشبكات العصبية الاصطناعية في التنبؤ بالمحتوى الرطوبى للتربة ومقارنتها بطريقة الارتداد الخطى المتعدد فوجدوا أن طريقة الشبكات العصبية الاصطناعية تتتفوق عليها. واستخدم (Al-Janobi et al. 2001) الشبكات العصبية الاصطناعية في التنبؤ بمقدار الشد النوعي لمدة مهارات تحت ظروف مختلفة من التشغيل شملت السرعة الأمامية، وعمق الحرث وظروف مختلفة من الخواص الطبيعية للتربة (الكتافة الظاهرية والمحتوى الرطوبى) وكانت نتائجهم المقصة والمتباعدة عنها متوافقة جدًا. ووجد عدة باحثين (Kohzadi et al., 1996; Roush and Cravener, 1997; Alhmidan et al., 2001 and Lykins and Chance, 1992) أن طريقة للشبكات العصبية الاصطناعية تتتفوق على الطرق الإحصائية التقليدية عند استخدامها كأداة للتنبؤ.

### ٣. المواد والطرق المستخدمة

ت تكون الشبكة العصبية الاصطناعية من مجموعة من عناصر المعالجة ترکب بطرق مختلفة وكل عنصر معالجة يستقبل عدد من المدخلات ويعطي إشارة خارجة واحدة، شكل (١). والمدخلات يمكن أن تكون على صورة بيانات خام أو تكون هي المخرجات من عناصر معالجة أخرى، والإشارة الخارجة يمكن أن تكون للنتيجة النهائية للمشكلة المطلوب حلها باستخدام الشبكة أو تكون مدخلًا لعنصر معالجة آخر. ويتم تجسيم عناصر المعالجة في مجموعات موزعة في طبقات لتكوين الشبكة العصبية الاصطناعية. ولمزيد من التفاصيل عن طبيعة الشبكات العصبية الاصطناعية يمكن الرجوع إلى (Hecht-Nielsen, 1990).



شكل (١): عنصر المعالجة في الشبكة العصبية الاصطناعية.

تم حساب الطاقة اللازمة للحرث من المعادلة التالية:

$$FE = \frac{mff \times \rho \times g \times H \times C \times \eta_m \times \eta_t}{10^6} \quad (1)$$

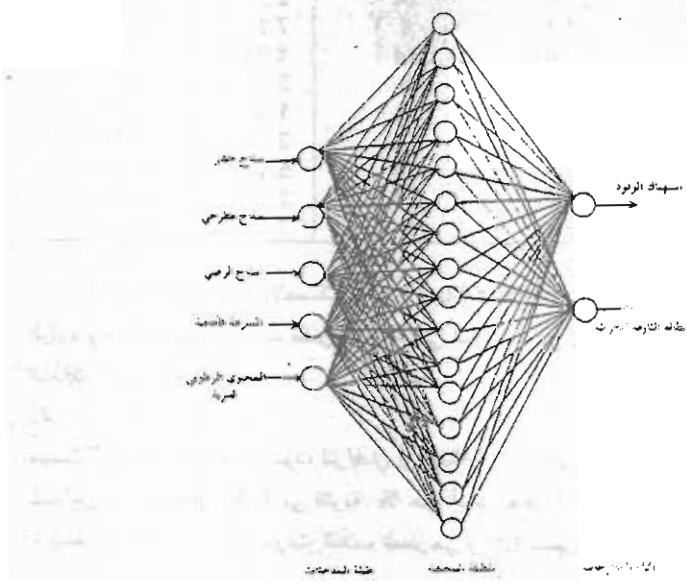
حيث  $FE$  = الطاقة اللازمة للحرث، ميجاجول/فدان،  $mff$  = استهلاك الوقود، لتر/فدان،  $\rho$  = كثافة وقود الديزل وتساوي  $٠٠٨٥$  كج/لتر،  $g$  = عجلة الجانبية الأرضية وتساوي  $٩,٨١$  م/ث٢،  $H$  = القيمة الحرارية لوقود الديزل وتساوي  $١٠٠٠$  كـ. كالوري/كج،  $C$  = المكافئ الميكانيكي للحراري ويساوي  $٤٢٧$  كـ. جـ. م/كـ. كالوري،  $\eta_m$  = الكفاءة الميكانيكية لمحرك الديزل وتساوي  $٠٨٠$ %،  $\eta_t$  = الكفاءة الحرارية لمحرك الديزل وتساوي  $٤٠$ %،  $\eta_{th}$  = ثبات تحويل.

تم استخدام برنامج حاسب آلي من شركة (Vesta Services 2000) يسمى Qnet2000 وهو يناسب التسغيل مع الترا فاذ ، ويمكن التعامل معه بسهولة من خلال مجموعة من القوائم تعرض كيفية اختيار تركيب الشبكة العصبية الاصطناعية ومتغيراتها المؤثرة في عملية التدريب. في هذا البحث تم تغيير عدد الطبقات المختلفة وعدد عناصرها الحسابية بطريقة المحاولة والخطأ للوصول إلى أنساب تركيب للشبكة العصبية المقترنة بناءً على أقل قيمة يمكن أن يصل إليها للجذر التربيعي لمتوسط مربع الأخطاء (RMSE) ومقدار معامل الارتباط (R)، شكل (٢).

تكونت الشبكة العصبية الاصطناعية المقترنة، شكل (٢)، من ثلاث طبقات، واحدة للمدخلات بعدد ٥ عناصر حسابية هي: سلاح حفار، سلاح مطرحي، سلاح قرصي، السرعة الأمامية، والمحظى الرطوبوي لستربة. وطبقات للمخرجات بعدد ٢ عنصر حسابي هي: استهلاك الوقود (لتر/فدان) والطاقة اللازمة للحرث (كيلوجول/فدان)، وطبقات مخففة بعدد ١٦ عنصر حسابي.



شكل (٢) : مكونات الشبكة العصبية الاصطناعية المقترنة والمتغيرات المتحكمة في تدريبيها كما يعرضها برنامج المحاكاة.



شكل (٣) : معمارية الشبكة العصبية الاصطناعية المقترنة.

تم استخدام الدالة الخدمة ( $\tanh$ ) في كل من طبقة المخرجات والطبقة المختنية كدالة تحويل وتم استخدام طريقة الانتشار الخلفي لتدريب الشبكة العصبية الاصطناعية المقترنة (التعليم الموجه) بمعدل تعلم قدره ٠،٩٨٠، وتم تدريب الشبكة بـ ١٨ مشاهدة من بيانات نتائج سابقة، مامكع (٢٠٠٢) بعد أن رتبت عشوائياً واستخدام نظام الترميز ١،٠ لأنواع المحاريث، جدول (١). والمحاريث المستخدمة هي: محراث حفار، وقلاب مطروحى، وقلاب قرصى ذات عرض تشغيل ٢٠٠ سم على الترتيب. وهذه المحاريث علقت مع جرار زراعى قدرته ٨٠ حصان وتعمل في تربة طينية طمية (clay loam) متغيرة المحتوى الرطوبى ١١،٧،٥،٥٪ على أساس جاف، وتعمل بثلاثة سرعات ألمانية هي: ١،٠،٧،٥ كم/س عند عمق حرف ٢٥ مم.

جدول (١): البيانات المستخدمة في تدريب الشبكة العصبية الاصطناعية.

المدخلات						المخرجات		
المحتوى الرطوبى	السرعة	النرية	استهلاك الوقود	استهلاك الماء	ميجا جول/فدان	لتر/فدان	لتر/فدان	لتر/فدان
كم/س	%	أسنان جاف	كم/س	مطرحي	حراث	حراث	حراث	حراث
5.5	14		3.78		43.07			
5.5	11		5.40		61.49			
9.0	8		7.82		89.10			
9.0	11		5.41		61.59			
9.0	8		6.17		70.25			
9.0	8		2.73		31.10			
5.5	14		4.86		55.32			
7.0	11		2.52		28.71			
7.0	11		7.12		81.11			
7.0	14		2.27		25.84			
5.5	8		7.23		82.36			
7.0	14		4.96		56.52			
5.5	8		3.07		34.93			
9.0	14		5.46		62.21			
9.0	11		2.44		27.76			
5.5	11		6.63		75.51			
9.0	14		2.15		24.50			
7.0	8		7.90		90.01			

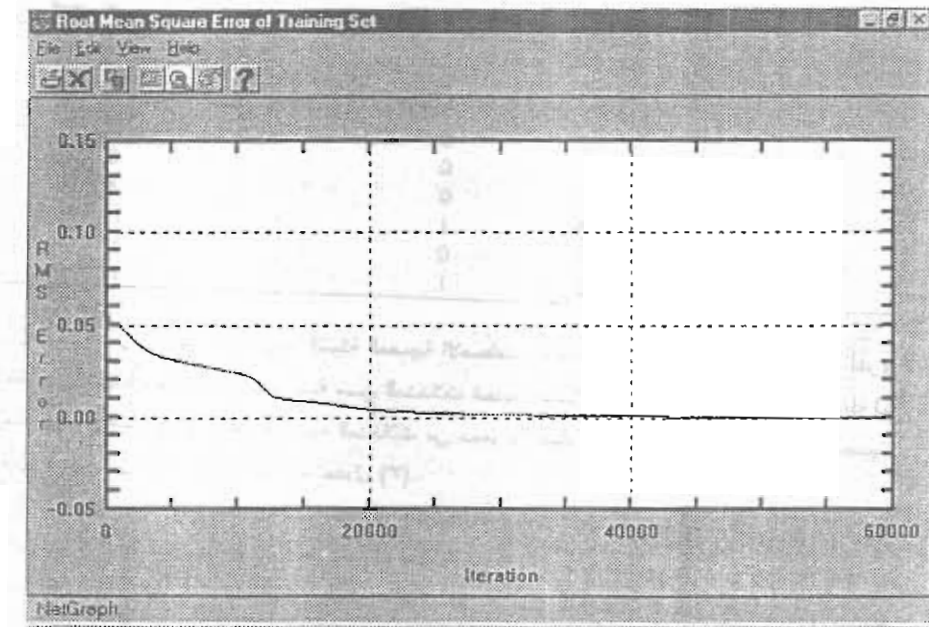
استخدم البرنامج الإحصائي (SPSS 9.0) لتنفيذ الارتداد الخطى للمتعدد لإيجاد استهلاك الوقود والطاقة اللازمة للحراث بنفس البيانات التي استخدمت في تدريب الشبكة العصبية الاصطناعية وكانت المعادلة المستخدمة كما يلى:

$$FC = \alpha_0 + \alpha_1 \times S + \alpha_2 \times M + \alpha_3 \times I \quad (2)$$

حيث  $FC$  = استهلاك الوقود، لتر/فدان أو الطاقة اللازمة للحراث، ميجاجول/فدان،  $S$  = السرعة الألامية،  $Km/s$ ،  $M$  = المحتوى الرطوبى للتربة، % على أساس جاف،  $I$  = معامل يعبر عن نوع المحراث، ويساوى ١ للمحراث الحفار ، و ٢ للمحراث القلاب المطروحى و ٣ للمحراث القلاب القرصى وتم استنباطه من نفس

البيانات وتدرك قيمة على أنه خارج قسمة متوسط استهلاك الوقود للحراث المطلوب إلى متوسط استهلاك الوقود للحراث الحنار،  $\alpha_0, \alpha_1, \alpha_2, \alpha_3$  = معاملات معادلة الارتداد الخطي.

تم استخدام الشبكة العصبية الاصطناعية متعددة الطبقات ذات التغذية الامامية لتنفيذ المحاكاة. وأثناء مرحلة تدريبيها تم إجراء ٦٠٠٠٠ مكورة حتى وصلت قيمة الجذر التربيعي لمتوسط مربع الأخطاء (RMSE) إلى أقل قيمة لها ٠٠٠٢٤٦، ومعامل الارتباط (٢) إلى أقصى قيمة له ٠٩٩٩٩، شكل (٢)، وهاتان القيستان تدلان على أن الشبكة العصبية الاصطناعية المقترحة قد تدربت بشكل جيد وقدرة على التسخين. ويوضح شكل (٤) تغير (RMSE) أثناء مرحلة تدريب الشبكة على الترتيب. ولاختبار أداء الشبكة العصبية المقترحة تم استخدام ٩ مشاهدات جديدة لم يتم تعريضها لها من قبل.



شكل (٤): منحنى التكرارات أثناء تدريب الشبكة العصبية الاصطناعية المقترحة.

#### ٤. النتائج والمناقشات

عند تنفيذ المعادلة (٢) على بيانات استهلاك الوقود والطاقة اللازمة للحرث تم الحصول على معاملات الارتداد الخطي المتعدد المعينة في جدول (٢) ويوضح أن معامل التغير ( $R^2$ ) لنمذجة المعادلة يساوي ٠٩٣ وهذا يعطي دقة كبيرة للمعادلة، كما يتضح أن معامل السحتوى الرطوبى للترابة بالسابق أي أن العلاقة بين المحترى الرطوبى للترابة واستهلاك الوقود (تر/فدان) علاقة عكسيّة وتندر النتيجة بالنسبة للطاقة اللازمة للحرث وهذه النتيجة متفقة مع ما توصل إليه (El-Ansary et al. 1995). ولاختبار معادلة الارتداد الخطي المتعدد تم استخدام ٩ مشاهدات، جدول (٣)، لم تستخدم في استبيان معاملات المعادلة (٢).

جدول (٢): قيم معاملات معادلة الارتداد الخطى المتعدد.

المتغيرات	معاملات معادلة الارتداد الخطى				$R^2$
	$\alpha_0$	$\alpha_1$	$\alpha_2$	$\alpha_3$	
استهلاك الوقود ، لتر/فدان	2.69	-9.51×10 <sup>-2</sup>	-0.17	2.71	0.93
الطاقة اللازمة للحرث، ميجا جول/فدان	30.63	-1.08	-1.98	30.82	0.93

جدول (٣): مدخلات اختبار معادلة الارتداد الخطى المتعدد والشبكة العصبية الاصطناعية المقترنة.

رقم المشاهدة	المحتوى الرطوبى للتربة السرعة الأمامية	سلاح قرصى	سلاح مطرحى	سلاح حفار	أمسان جات، % كم/س	
					%	كم/س
1	0	0	1	9.0	11	
2	0	1	0	7.0	11	
3	0	1	0	7.0	8	
4	1	0	0	5.5	11	
5	0	1	0	5.5	8	
6	1	0	0	7.0	8	
7	0	0	1	5.5	14	
8	0	1	0	9.0	14	
9	0	0	1	7.0	14	

بمجرد أن ينتهي تدريب الشبكة العصبية الاصطناعية، فإنه يتم تخزينها ثم استدعاؤها مرة أخرى لاختبار أدائها بمتغير مجموع من المدخلات الجديدة أمامها للحصول على المخرجات المقابلة لها ومقارنتها مع المخرجات المشاهدة. وهذه المدخلات من مجموعة البيانات التي تدربت عليها الشبكة العصبية، ولكن لم يسبق أن تعرضت لها من قبل، جدول (٢).

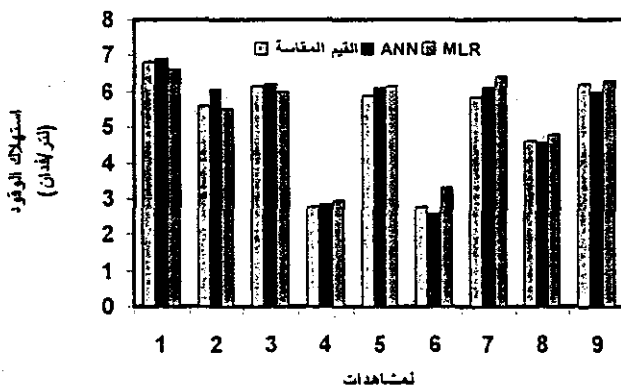
نتائج أداء طريقي الشبكة العصبية الاصطناعية والارتداد الخطى المتعدد عند التنبؤ باستهلاك الوقود والطاقة اللازمة للحرث عند ظروف مختلفة من التشغيل موضحة في جدول (٤)، ومنه يتبين أن معامل التقدير ( $R^2$ ) بين استهلاك الوقود المقادس وقيمة التي تم تدريبها بالشبكة العصبية الاصطناعية يساوي ٠.٩٨، وهذه القيمة تدل على أن هناك ارتباط قوى بين القيم الفعلية والقيم المتباينة بها بالشبكة العصبية الاصطناعية.

جدول (٤): معايير تقييم الشبكة العصبية الاصطناعية ومعادلة الارتداد الخطى المتعدد أثناء اختبارها.

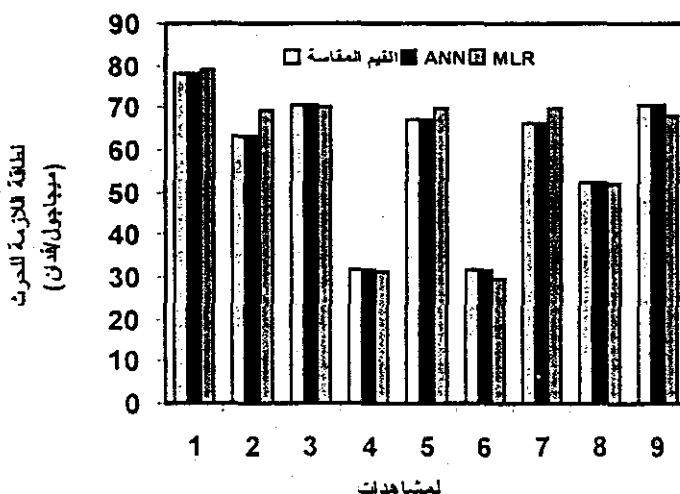
المعيار	المعادلة الارتداد الخطى المتعدد	الشبكة العصبية الاصطناعية	الوحدة	الوحدة
RMSE	لتر/فدان	0.237	0.313	
RMSE	ميجاجول/فدان	2.699	3.729	
$R^2$	---	0.98	0.96	

وتووضح النتائج المعروضة في جدول (٤) أن الشبكة العصبية الاصطناعية تتتفق على طريقة الارتداد الخطى المتعدد في عملية التنبؤ حيث أن قيمة (RMSE) بين القيم الفعلية والقيم المتباينة بها باستهلاك الوقود والطاقة اللازمة للحرث أقل.

يوضح شكل (٥) و (٦) العلاقة بين القيم المتباينة بها والمقاسة لاستهلاك الوقود والطاقة اللازمة للحرث على الترتيب. ومن الأشكال نجد أن القيم المتباينة بها لاستهلاك الوقود والطاقة اللازمة للحرث من الشبكة العصبية الاصطناعية (ANN) قريبة من القيم المقابلة بعكس القيم المتباينة بها من معادلة الارتداد الخطى المتعدد (MLR) وهذا يدل على أن الشبكة العصبية الاصطناعية المقترنة قادرة على التميز باستهلاك الوقود والطاقة اللازمة للحرث تحت مستويات المدخلات المذكورة وتكون أدق من طريقة الارتداد الخطى.



شكل (٥): العلاقة بين القيم المتباينة بها بالشبكة العصبية الاصطناعية (ANN) والارتداد الخطى المتعدد (MLR) والمقاسة لاستهلاك الوقود.



شكل (٦): العلاقة بين القيم المتباينة بها بالشبكة العصبية الاصطناعية (ANN) والارتداد الخطى المتعدد (MLR) والمقاسة للطاقة اللازمة للحرث.

##### ٥. المراجع

- الجنوبى، ع. ع.، وهى، م. ف. (١٩٩٨م): استهلاك الطاقة لمجموعة من نظم للحراثة والزراعة. م. اتحاد الجامعات العربية للدراسات والبحوث الزراعية، ٦(١): ٤٨-٣٧.
- العشري، س. ر. (١٩٩٥م): مشروع تقدير استهلاك الطاقة المستخدمة لإنتاج المحاصيل في مصر. للتقرير النهائي، مركز البحوث الزراعية، المشروع للقوى للأبحاث الزراعية: ٦-٥.
- العوضى، م. ن. (١٩٩٨م): برنامج الخبرة، افتتاحية العدد ١٥(١) من م. المصرية هـ.ز.
- ملحق، ع. م. (٢٠٠٢م): العوامل المؤثرة على استهلاك الجرار الزراعي للوقود أثناء الحراثة. مقبول للنشر، مجلة اتحاد الجامعات العربية للدراسات والبحوث الزراعية.
- Altendorf, C.T.; R.L. Elliott; E.W. Stevens and M.L. Stone (1999): Development and validation of a neural network model for soil water content prediction with comparison to regression techniques. Trans. ASAE, 42 (3):691-699.
- El-Ansary, M.Y.; Z.A. El-Haddad and M.T.M. Tohamy (1995): Minimizing tillage power and cost required to achieve a proper seedbed preparation. Misr J. Ag. Eng., 12(1):3-14.
- Gomaa, A.E; A.E. Ahmed and M.A. Sabbah (1995): Simulation of tillage energy input for Egyptian soils. 3<sup>rd</sup> Conf. of Misr Society of Ag. Eng., 5-6 Oct., 1995:105-127.
- Alhamdan, A. M.; A. Al-Janobi; A. M Aboukarima and Kh. A. Ahmed (2001): Applications of neural networks in predicting rheological properties of milk-dibbs drink . Alex. J. of Agric. Res.,46(2):1-9.
- Hecht-Nielsen, R. (1990): Neurocomputing. Addison-Wesly Pub. Company, Inc.:21-41, 110-162.
- Al-Janobi, A.A.; A. M. Aboukarima and Kh. A. Ahmed (2001): Prediction of specific draft of different tillage implements using neural networks. Misr J. Ag. Eng., 18(3):669-714.
- Kepner, R.A.; R. Bainer and E.L. Barger (1987): Principles of farm machinery, 3<sup>rd</sup> ed. CBS Publishers & Distributors, India: 131.
- Kohzadi, N.; M.S Boyd; B. Kermanshahi and I. Kaastra (1996): A comparison of artificial neural network and time series models for forecasting commodity prices. Neurocomputing, 10 (2): 169-181.
- Langman, L. (1999): Application of artificial neural networks in agricultural engineering. The application of information technology in agriculture, Kazimierz, Poland, 22-23 April, 1998, Inzynieria-Rolnicza, 1999,1:7 : 153-158.

- Lykins, S. and D. Chance (1992): Comparing artificial neural networks and multiple regression for better predictability using correlation and absolute error statistics. Oklahoma Symp. on Artificial Intelligence, November 11-12, 1992, the Univ. of Tulsa, Tulsa, Oklahoma, USA:156-165.
- Mohamed, A.A.I.; M.E-S. M. Metwally and Kh. A.A. Khadr (1995): A study of some factors affecting the performance of chisel plow under Egyptian conditions. Misr J. Ag. Eng., 12(4):895-911.
- Morad, M.M. and M.A. El-Shazly (1994): Effect of some operating parameters on rotary plow performance. Misr J. Ag. Eng., 11(4): 1009-1020.
- Roush, W.B. and T.L. Cravener (1997): Artificial neural network prediction of Amino acid levels in feed ingredients. Poultry Science, 76: 721-727.
- El-Sayed, G.H. and R.M.M. El-Kilani (2002): Predicted vs. measured tractor fuel - consumption in soil-working operations. Misr J. Ag. Eng., 19(1):268-284.
- El-Sheikha, M.A. (1989): A quick and effective method to prepare seed-bed for Egyptian farms. Misr J. Ag. Eng., 6(3):213-223.
- SPSS for Windows , Release 9.0 (1998), Standard Version, SPSS Inc.
- Vesta Services, Inc. (2000): Qnet2000 Shareware, Vesta Services, Inc., 1001 Green Bay Rd, STE 196, Winnetka, IL 60093.

**Development Of Agricultural - Engineering Technologies In  
The Arab and Islamic World.**

*The 10<sup>th</sup> Conference of the Misr Of Ag. Eng., 16-17 October, 2002 : 115-126*

**USING NEURAL NETWORKS AND LINEAR REGRESSION FOR  
PREDICTING ENERGY REQUIREMENTS IN PLOWING**

**Mohamed N. El-Awady\*; Abdel Fadil G. El-Kabany\*\***

**Mohamed H.A. Kabeel\*\*\* and Abdulwahed M. Aboukarima\*\*\*\***

In this research work, two methods were utilized to predict both fuel consumption and energy requirements during tillage process under different operation conditions. The first method was multiple linear regression (MLR) and the second one was artificial neural network (ANN). Data of three plows were obtained from (Mamkagh, 2002). The first is plow chisel, the second is moldboard and the third one is disk. These plows performed tillage on clay loam soil surface changing in moisture (8, 11 and 14 %, d.b). Three forward speeds were utilized namely: 5.5, 7.0 and 9.0 km/h. During executing the MLR to obtain the regression coefficients, factors were used as 1 for chisel, 2.5 for disk and 2 for moldboard. These factors are the ratios of the average of fuel consumption of selected plow to fuel consumption of chisel plow.

A multilayer feedforward network with the error backpropagation learning algorithm was used to build the ANN model. The ANN was trained and tested with: plow type (chisel, moldboard and disk), soil moisture and forward speed as input parameters and fuel consumption and energy requirements as output parameters. The training data were 18 observations.

The architecture of the ANN consisted of three layers, the first layer for inputs, the second was hidden layer with 16 processing elements, and the third layer for output. The hidden layer and the output layer had been (Tanh) transfer function. The learning rate was 0.098 and the best results were achieved at 60000 training runs, which gave minimum root mean squared error (RMSE) equals to 0.000246 during training process. The results during testing the ANN showed that the variation of observed and predicted fuel consumption and energy requirements was small and coefficient of determination ( $R^2$ ) and (RMSE) were 0.98 and 2.699 MJ/fod for energy requirements prediction, while these values of  $R^2$  and RMSE were 0.96 and 3.729 MJ/fod using MLR respectively. The study suggests that the ANN approach is very useful for predicting both fuel consumption (lit/fod) and energy requirements (MJ/fod) although the relationship between them and affecting variables is unseen.

---

\* Prof. Ent., Ag. Eng. Dept., Col. Ag., Ain Shams Univ.

\*\* Lecture, Ag. Eng. Dept., Col. Ag., Ain Shams Univ.

\*\*\* S. Res., Ag. Eng. Res. Inst., Dokki, Giza.

\*\*\*\* Ass. Res., Ag. Eng. Res. Inst., Dokki, Giza.